

การวิเคราะห์เวฟเลตของแอน ไอโซกรอบป้องกันสมิภัย โครเวฟเบื้องกราวน์

นายเอกพงษ์ หิรัญสิริสวัสดิ์

ศูนย์วิทยทรัพยากร  
จุฬาลงกรณ์มหาวิทยาลัย

วิทยานิพนธ์นี้เป็นส่วนหนึ่งของการศึกษาตามหลักสูตรปริญญาวิทยาศาสตรมหาบัณฑิต

สาขาวิชาฟิสิกส์ ภาควิชาฟิสิกส์

คณะวิทยาศาสตร์ จุฬาลงกรณ์มหาวิทยาลัย

ปีการศึกษา 2547

ISBN 974-53-1645-8

ลิขสิทธิ์ของจุฬาลงกรณ์มหาวิทยาลัย

WAVELET ANALYSIS OF COSMIC MICROWAVE BACKGROUND ANISOTROPY

Mr. Ekapong Hirunsirisawat

ศูนย์วิทยทรัพยากร

A Thesis Submitted in Partial Fulfillment of the Requirements  
for the Degree of Master of Science in Physics

Department of Physics

Faculty of Science

Chulalongkorn University

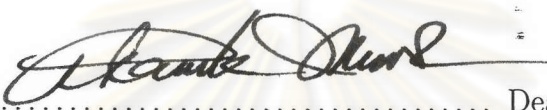
Academic year 2004

ISBN 974-53-1645-8

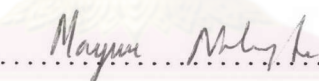
Thesis Title      WAVELET ANALYSIS OF COSMIC MICROWAVE BACK-GROUND ANISOTROPY  
By                Mr. Ekapong Hirunsirisawat  
Field of Study    Physics  
Thesis Advisor    Ahpisit Ungkitchanukit, Ph.D.

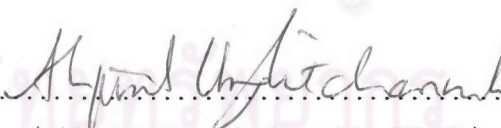
---

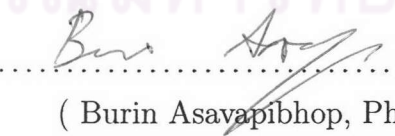
Accepted by the Faculty of Science, Chulalongkorn University in Partial Fulfillment of the Requirements for the Master's Degree

  
..... Dean of the Faculty of Science  
(Professor Piamsak Menasveta, Ph.D.)

THESIS COMMITTEE

  
..... Chairman  
(Associate Professor Mayuree Natenapit, Ph.D.)

  
..... Thesis Advisor  
(Ahpisit Ungkitchanukit, Ph.D.)

  
..... Member

(Burin Asavapibhop, Ph.D.)

  
..... Member  
(Thiti Bovornratanarak, Ph.D.)

เอกสารนี้ หรัญสิริสวัสดิ์: การวิเคราะห์เวฟเลตของแอนไซซิตรอปีของคอสมิกไมโครเวฟ  
แบ็กกราวน์. (WAVELET ANALYSIS OF COSMIC MICROWAVE BACKGROUND  
ANISOTROPY) อ.ที่ปรึกษา: อ.ดร. อภิสิทธิ์ อังกิจานุกิจ จำนวนหน้า 69 หน้า. ISBN  
974-53-1645-8.

แอนไซซิตรอปีของอุณหภูมิของคอสมิกไมโครเวฟแบ็กกราวน์เป็นสนามสุ่ม (random field) บน  
ท้องฟ้าทรงกลมที่มีคุณสมบัติทางสถิติที่เก็บข้อมูลของเอกภพ โดยเฉพาะอย่างยิ่งเอกภพสมัยเริ่มแรก  
การค้นหาสัญญาณอนก้าส์เชียน (non-Gaussian) ในคอสมิกไมโครเวฟแบ็กกราวน์ซึ่งเป็น<sup>1</sup>  
การศึกษาคุณสมบัติทางสถิติแบบแก๊สเชียน (Gaussian statistics) เป็นวิธีการหนึ่งที่อาจจะช่วยใน  
การศึกษาเอกภพ ในวิทยานิพนธ์นี้ เรatabทวนงานของ Vielva และผู้ร่วมงาน (ถูกตีพิมพ์ใน  
พ.ศ.2547) และงานของ Mukherjee และ Wang (ถูกตีพิมพ์ใน พ.ศ. 2547) ซึ่งเป็นการค้นหาความ  
เป็นอนก้าส์เชียน (non-Gaussianity) ในข้อมูลของคอสมิกไมโครเวฟแบ็กกราวน์จากการสังเกต  
ของดาวเทียม WMAP (Wilkinson Microwave Anisotropy Probe) ในปีแรก โดยใช้เวฟเลตหมาก  
เม็กซิกันแบบทรงกลม (spherical Mexican hat wavelet) งานของพวงเข้าค้นพบสัญญาณอน  
ก้าส์เชียน (non-Gaussian) ในสเกลเวฟเลตประมาณ 4 องศา ซึ่งเทียบเท่ากับขนาดมุมบนท้องฟ้า  
ประมาณ 10 องศาในครึ่งทรงกลมกาแล็กซีใต้ (southern Galactic hemisphere) นอกจากนี้งาน  
ของ Mukherjee และ Wang ยังทำการบังคับค่าของพารามิเตอร์คู่ควบไม่เชิงเส้น (nonlinear  
coupling parameter)  $f_{NL}$  ซึ่งเป็นตัวบ่งบอกระดับขั้นของความเป็นอนก้าส์เชียนในรูปแบบของ  
พจน์กำลังสองในเพอร์เทอร์เบชันความโค้งแบบ Bardeen (Bardeen curvature perturbation) โดย  
ใช้ความเบี้ยว (skewness) ในสเกลเวฟเลตทุกสเกลในการทดสอบทางสถิติ ผลคือค่าของ  $f_{NL}$  ถูกบังคับ  
เป็น  $50 \pm 80$  ที่ช่วงความเชื่อมั่นร้อยละ 68 และน้อยกว่า 280 ที่ช่วงความเชื่อมั่นร้อยละ 99

## จุฬาลงกรณ์มหาวิทยาลัย

ภาควิชา พิสิกส์  
สาขาวิชา พิสิกส์  
ปีการศึกษา 2547

ลายมือชื่อนิสิต ..... *Over here* .....  
ลายมือชื่ออาจารย์ที่ปรึกษา *Dr. A. S. Dangayach*

## 4472512323 : MAJOR PHYSICS

KEY WORDS: COSMIC MICROWAVE BACKGROUND/ NON-GAUSSIANITY / WAVELET / EARLY UNIVERSE

EKAPONG HIRUNSIRISAWAT : WAVELET ANALYSIS OF COSMIC MICROWAVE BACKGROUND ANISOTROPY. THESIS ADVISOR : AHPISIT UNGKITCHANUKIT, PH.D., 69 pp. ISBN 974-53-1645-8.

The cosmic microwave background (CMB) temperature anisotropy is a random field on the spherical sky whose statistical properties keep the information of the universe, especially the early universe. The study of its Gaussian statistics, namely the search for non-Gaussian signatures, is hopefully a way complementary to others in cosmology. In this thesis, we review the search for non-Gaussianity on the WMAP (Wilkinson Microwave Anisotropy Probe) first-year CMB data using the spherical Mexican hat wavelet of Vielva et al. (2004) and Mukherjee and Wang (2004). Their results are positive; the non-Gaussian signal was found at the wavelet scale around  $4^\circ$  ( $\sim 10^\circ$  in the sky) in the southern Galactic hemisphere. In addition, the nonlinear coupling parameter  $f_{NL}$ , which reflects the degree of non-Gaussianity in the form of the quadratic term in the Bardeen's curvature perturbations, was constrained in Mukherjee and Wang using the skewness at all wavelet scales. Their results constrained  $f_{NL}$  to be  $50 \pm 80$  at 68% confidence, and less than 280 at 99% confidence.

# ศูนย์วิทยทรัพยากร จุฬาลงกรณ์มหาวิทยาลัย

Department Physics

Field of study Physics

Academic year 2004

Student's signature Ekapong Hirunsirisawat

Advisor's signature Ahpisit Ungkitchanukit

# Acknowledgements

I am very grateful to Dr. Ahpisit Ungkitchanukit, my advisor, for his supports throughout my thesis. He has taught me a beautiful way in learning physics and encouraged me to explore in many areas of physics.

I would like to thank Dr. Auttakit Chattaraputi for his encouragement and giving me the active feeling in the physics research.

I am indebted to Dr. Rujikorn Dhanawittayapol for his encouragement. I am very grateful to Dr. Songkiat Sumetkitjakan for kindly teaching the wavelet analysis in his course.

Many thanks to Rangsima Chanphana, Wirin Sonsrettee, and all others in our group for their supports and discussions.

I acknowledge Assoc. Prof. Dr. Mayuree Natenapit, Dr. Burin Asavapibhop and Dr. Thiti Bovornratanarak, my thesis committee, for dedicating their time to examine my thesis.

I sincerely thank Raksapol Thananuwong and Piyanete Chuychai for giving me some tools for writing this thesis.

I would like to thank all friends for their encouragements. I would like to thank Sakulraya Kuekul. Finally, I would like to send my best thanks to my parents and everyone in my family. Without them, I would not be able to overcome many problems in my life.

# Table of Contents

	page
Abstract (Thai) .....	iv
Abstract (English) .....	v
Acknowledgements .....	vi
List of Figures .....	xiii
List of Symbols .....	xiv
Chapter	
1 Introduction .....	1
1.1 Prologue .....	1
1.2 Cosmic Microwave Background .....	3
1.3 The CMB Temperature Anisotropy .....	4
1.4 The Search for Non-Gaussianity in CMB .....	8
2 Gaussian Perturbations .....	10
2.1 Inflation .....	10
2.2 The Horizon .....	13
2.3 Gaussian Perturbations .....	17

Chapter	page
<b>3 The Continuous Wavelet Transform .....</b>	<b>20</b>
3.1 Space-Scale Analysis .....	20
3.2 The Continuous Wavelet Transform .....	22
3.3 The CWT in Two dimensions .....	25
3.3.1 The Basic Properties .....	25
3.3.2 Choice of the Analyzing Wavelets .....	27
<b>4 Non-Gaussianity Detections Using Spherical Mexican Hat Wavelets .....</b>	<b>30</b>
4.1 The Wavelets on 2-Sphere .....	30
4.2 The Spherical Mexican Hat wavelets .....	33
4.3 The WMAP 1-year Data .....	34
4.4 Gaussian Simulations .....	35
4.5 Statistical Analysis in Wavelet Space .....	37
4.5.1 Skewness and Kurtosis of Wavelet Coefficients .....	38
4.5.2 The Extremum Analysis .....	40
4.5.3 Scale-Scale Correlations .....	41
4.6 $f_{NL}$ constraints .....	41
4.6.1 The $\chi^2$ test .....	43
4.6.2 The Fisher Discriminant Function .....	44
<b>5 Summary .....</b>	<b>54</b>
<b>References .....</b>	<b>57</b>
<b>Appendices .....</b>	<b>60</b>

	page
Appendix A: The Friedmann-Robertson-Walker Universe .....	61
Appendix B: Gaussian Statistics .....	63
Appendix C: The Quantization of the Inflaton Field .....	65
Vitae .....	69

ศูนย์วิทยทรัพยากร  
จุฬาลงกรณ์มหาวิทยาลัย

# List of Figures

Figure	page
1.1 The all-sky CMB temperature anisotropy map from the Wilkinson Microwave Anisotropy Probe (WMAP), the NASA satellite, foreground-cleaned by Tegmark et al. [6]. The temperature is higher in more red region, the temperature lower in more blue region. . . . .	2
1.2 The CMB angular power spectrum, $l(l + 1)C_l/2\pi$ , measured on the WMAP first-year data. It is the quantity that represents the r.m.s. amplitude of CMB temperature anisotropies at a given angular scale, represented by the multipole moment $l$ [14]. . . . .	7
2.1 Horizon crossing of the perturbations A, B and C with different wavelengths corresponding to the angular scale on the CMB sky $> 2^\circ$ , $\sim 2^\circ$ and $< 2^\circ$ , respectively. The thin line represents the evolution of the Hubble horizon $H^{-1}(a)$ , the thick lines draw the evolution of the perturbation wavelengths, $2\pi a/k$ , where $a$ is the scale factor. $H^{-1}$ is nearly constant during inflation, grows as $a^2$ in the radiation era, and grows as $a^{3/2}$ in the matter era. We use the scale factor as a time scale: $a_A$ , $a_B$ and $a_C$ for the first horizon-crossing time of A, B and C, respectively, $a_{rh}$ for the reheating epoch, $a_{eq}$ for the matter-radiation equality, and $a_{dec}$ for the decoupling time. . . . .	16
3.1 Two examples of wavelets: (left) The Mexican hat wavelet and (right) The Morlet wavelet [20]. . . . .	22
3.2 Space-frequency uncertainty window at different frequency derived by varying the dilation $a$ : $a < 1$ , $a = 1$ and $a > 1$ , but at the same position $b$ [20]. . . . .	25

Figure	page
3.3 The 2-D Morlet wavelet, for $\epsilon = 2$ , $k_0 = (0, 6)$ : (left) In position space (real part), (right) In spatial frequency space [20]. . . . .	28
4.1 The stereographic projection from the plane to unit sphere of the Mexican hat wavelet [25]. . . . .	32
4.2 The spherical Mexican hat wavelet (SMHW) (solid line) deformed from the Mexican hat wavelet (dash line). The scale of the wavelet is chosen to be $R = 1$ rad [25]. . . . .	34
4.3 The (foreground cleaned) Q-V-W coadded map applied by the Kp0 mask with the resolution $N_{side} = 256$ . The residual monopole and dipole have been removed. This figure is taken from V04 [27]. . . . .	36
4.4 The skewness spectra $S(R)$ (left panel) and kurtosis spectra $K(R)$ (right panel) of <i>all sky</i> WMAP data determined from the wavelet coefficients at the scale $R$ outside the extended mask $M(R)$ (blue stars). From 10000 Gaussian simulations, the red (inner), green (middle), and magenta (outer) show the acceptance intervals for the 32%, 5%, and 1% significance levels, and the yellow line represent the mean value of all simulations. This figure is taken from V04 [27]. . . . .	39
4.5 The skewness spectra $S(R)$ (top) and kurtosis spectra $K(R)$ (bottom) determined in the northern hemisphere (left column) and in the southern hemisphere (right column) of the WMAP coadded data (blue stars). From 10000 Gaussian simulations, the red (inner), green (middle), and magenta (outer) show the acceptance intervals for the 32 %, 5 %, and 1 % significance levels, and the yellow line represent the mean value of all simulations. This figure is taken from V04 [27]. . . . .	47

Figure	page
4.6 The extremum statistics of wavelet coefficients in the southern Galactic hemisphere: the minima and maxima, in unit of the dispersion $\sigma$ , and $\sigma$ itself (top panel), and the number of wavelet coefficients that are larger than (mean+ $\sigma$ ), (mean+2 $\sigma$ ) and (mean+3 $\sigma$ ) (middle panel), and smaller than (mean- $\sigma$ ), (mean-2 $\sigma$ ) and (mean-3 $\sigma$ ) (bottom panel) measured on the WMAP coadded data, together with the mean (solid), 1 $\sigma$ (covering 68.27% acceptance interval) (solid), 2 $\sigma$ (covering 95.45% acceptance interval) (dashed), 3 $\sigma$ (covering 99.73% acceptance interval) (dotted) confidence contours obtained from 1000 Gaussian simulations. The panels of the minima (top-left) and the number of the coefficients less than (mean-3 $\sigma$ ) (bottom-right) infer an excess of cold coefficients. This figure is taken from MW04 [28]. . . . .	48
4.7 The scale-scale correlations amongst wavelet coefficients between scales indicated in the table for the all sky data (top panel) and the data of the southern Galactic hemisphere (bottom panel) (both presented as stars). Notice that the scales considered for the southern hemisphere concentrate on the scales $R_6$ to $R_{11}$ which are the scales that present non-Gaussian signals in two previous sections. The mean and 1 $\sigma$ (solid), 2 $\sigma$ (dashed) and 3 $\sigma$ (dotted) confidence contours obtained from Gaussian simulations are also shown [28]. . . . .	49
4.8 One-point probability distribution function (p.d.f.) of the CMB anisotropy, $\Delta T/T$ , measured from simulated non-Gaussian maps (noise and beam smearing are not included) for $f_{NL} = 100, 500, 1000$ and $3000$ (solid line). The dashed line enclose the rms scatter of Gaussian realization (i.e., $f_{NL} = 0$ ). Notice that the larger $f_{NL}$ is, the more negatively skewed p.d.f. becomes. If $f_{NL} < 0$ , p.d.f. becomes positively skewed [29]. . . . .	50

Figure	page
4.9 Mean $\chi^2$ distributions obtained from 300 simulations of non-Gaussian simulations with $f_{NL}$ values of 50 (dashed), 100 (solid), 150 (dot-dashed). The simulations include as usual the noise properties and beam convolutions of the WMAP 1st-year data. This figure is obtained from MW04 [28]. . . . .	51
4.10 A plot of $\chi^2$ against $f_{NL}$ obtained using WMAP data. $f_{NL}$ is thus estimated to be $50 \pm 80$ at 68% confidence, and the 95% and 99% upper limits are 220 and 280 respectively. This figure is taken from MW04 [28]. . . . .	52
4.11 Histograms of Fisher discriminant values from 1000 Gaussian simulations (solid), from 300 non-Gaussian simulations (dashed), and of the data (vertical line), for $f_{NL} = 120$ and 250. These values are near the $1\sigma$ and $2\sigma$ limits on $f_{NL}$ . This figure is taken from MW04 [28]. . . . .	53

  
**ศูนย์วิทยทรัพยากร  
จุฬาลงกรณ์มหาวิทยาลัย**

## List of Symbols

$T$	CMB temperature
$\Delta T/T$	CMB temperature anisotropy
$H$	Hubble expansion rate
$t$	cosmic time
$l$	multipole moment
$P$	pressure
$\rho$	energy density
$G$	Newtonian gravitational constant
$R$	wavelet scale
$S(R)$	skewness spectra
$K(R)$	kurtosis spectra
$f_{NL}$	nonlinear coupling parameter